

別添資料55：緑川における砂利採取量、ダム堆砂量

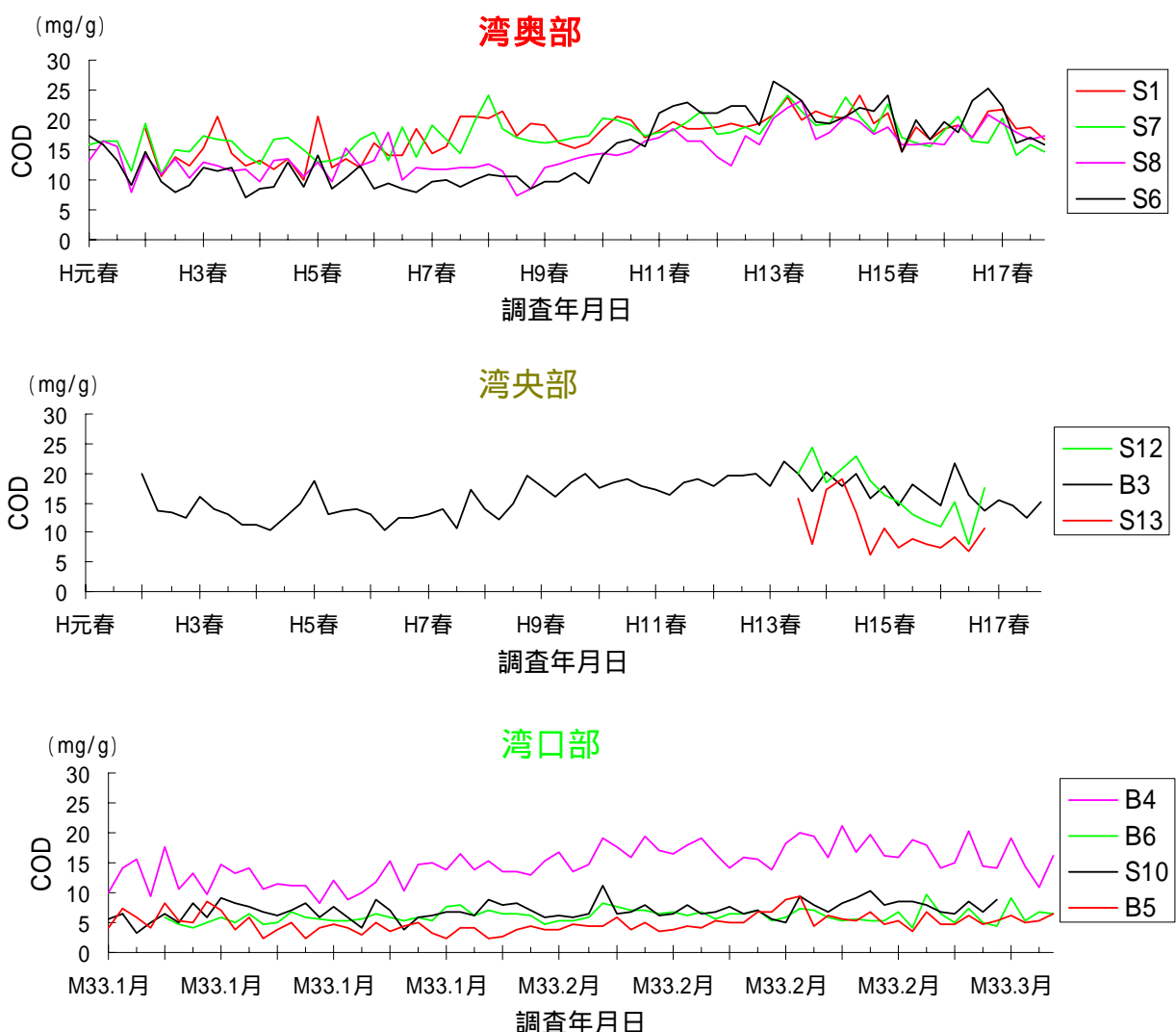
表 17 緑川における砂利採取量、ダム堆砂量の推移

| 年号 | 西暦 | 砂利採取量(千m ³) | 緑川ダム堆砂量(千m ³) | 砂利採取量+年間堆砂量* |
|-------|------|-------------------------|---------------------------|--------------|
| S41 | 1966 | 332 | 1964 緑川ダム工事着手 | 332 |
| S42 | 1967 | 221 | | 221 |
| S43 | 1968 | 129 | | 129 |
| S44 | 1969 | 146 | | 146 |
| S45 | 1970 | 100 | 緑川ダム完成 | 226 |
| S46 | 1971 | 104 | | 230 |
| S47 | 1972 | 124 | | 250 |
| S48 | 1973 | 143 | | 269 |
| S49 | 1974 | 148 | (堆砂量) | 274 |
| S50 | 1975 | 118 | 758 | 244 |
| S51 | 1976 | 131 | 1191 | 564 |
| S52 | 1977 | 119 | 1383 | 311 |
| S53 | 1978 | 149 | 1464 | 230 |
| S54 | 1979 | 126 | 1611 | 273 |
| S55 | 1980 | 104 | 1728 | 221 |
| S56 | 1981 | 123 | 1852 | 247 |
| S57 | 1982 | 113 | 2233 | 494 |
| S58 | 1983 | 143 | 2267 | 177 |
| S59 | 1984 | 78 | 2438 | 249 |
| S60 | 1985 | 91 | 2505 | 158 |
| S61 | 1986 | 77 | 2607 | 179 |
| S62 | 1987 | 134 | 2628 | 155 |
| S63 | 1988 | 95 | 2856 | 323 |
| H1 | 1989 | 59 | 3009 | 212 |
| H2 | 1990 | 22 | 3176 | 189 |
| H3 | 1991 | 20 | 3265 | 109 |
| H4 | 1992 | 16 | 3397 | 148 |
| H5 | 1993 | 51 | 3800 | 454 |
| H6 | 1994 | 39 | 3812 | 51 |
| H7 | 1995 | 43 | 3943 | 174 |
| H8 | 1996 | 9 | 4065 | 131 |
| H9 | 1997 | 20 | 4278 | 233 |
| H10 | 1998 | 0 | 4303 | 25 |
| H11 | 1999 | 7 | 4324 | 28 |
| H12 | 2000 | 3 | 4359 | 38 |
| H13 | 2001 | 13 | 4403 | 57 |
| H14 | 2002 | 3 | 4466 | 66 |
| H15 | 2003 | 2 | 4477 | 13 |
| 砂利採取計 | | 3355 | 砂利採取+堆砂(累計値) | 7830 |

* 1970年～1975年の6年間は年平均の堆砂量を126千m³(758千t÷6年間)と推計して算出

資料：国土交通省資料

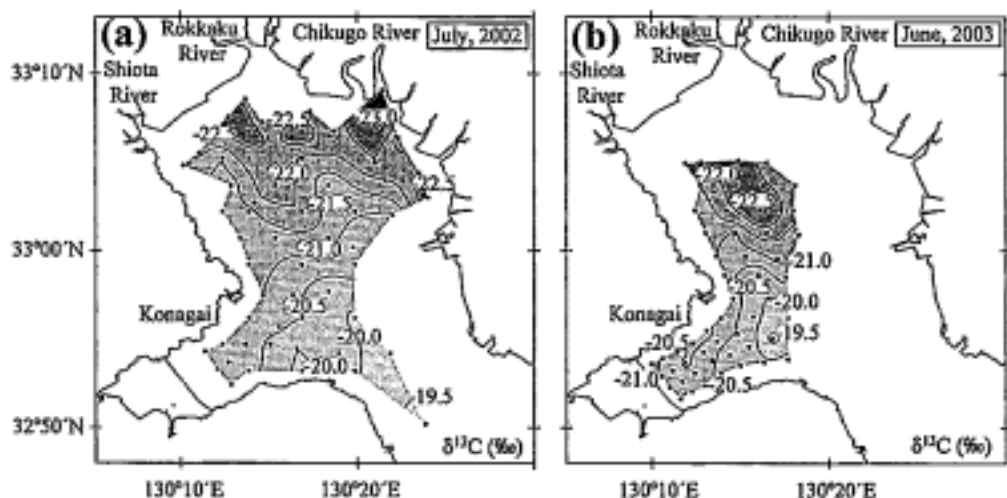
別添資料56：諫早湾内の底質（COD）の状況



資料：農林水産省九州農政局「環境モニタリング」

図 59 謙早湾内の底質(COD)の経年変化

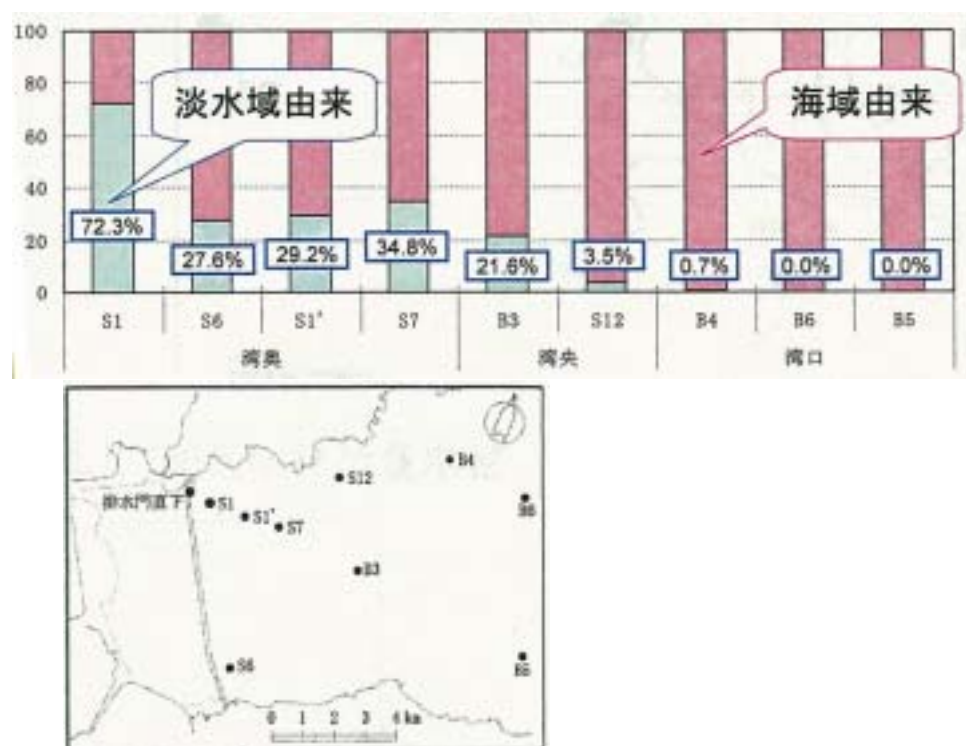
別添資料57：表層堆積物中の有機炭素安定同位対比（ $\delta^{13}\text{C}$ ）の分布



資料：岡村和磨、田中勝久、木元克則、清本容子（2005）：有明海奥部と諫早湾における表層堆積物中の有機物の分布と有機炭素安定同位対比、海の研究、VOL.15、NO.2、PAGE.191-200

図 60 有明海湾奥部と諫早湾の表層堆積物中の $\delta^{13}\text{C}$ の分布：2002 年 7 月と 2003 年 6 月

別添資料58：諫早湾における浮泥量調査結果



注）淡水域由来については、調整池以外からの淡水流入による影響の可能性もある。

資料：農林水産省農村振興局（2006）「第 21 回有明海・八代海総合調査評価委員会 資料-4-1 環境変化の仕組の更なる解明のための調査-平成 17 年度調査結果の概要-」

図 61 講早湾における浮泥量調査結果（平成 17 年 7 月 4 日～7 月 6 日）

別添資料59：佐賀県海域の夏季 DO 濃度の経年変化

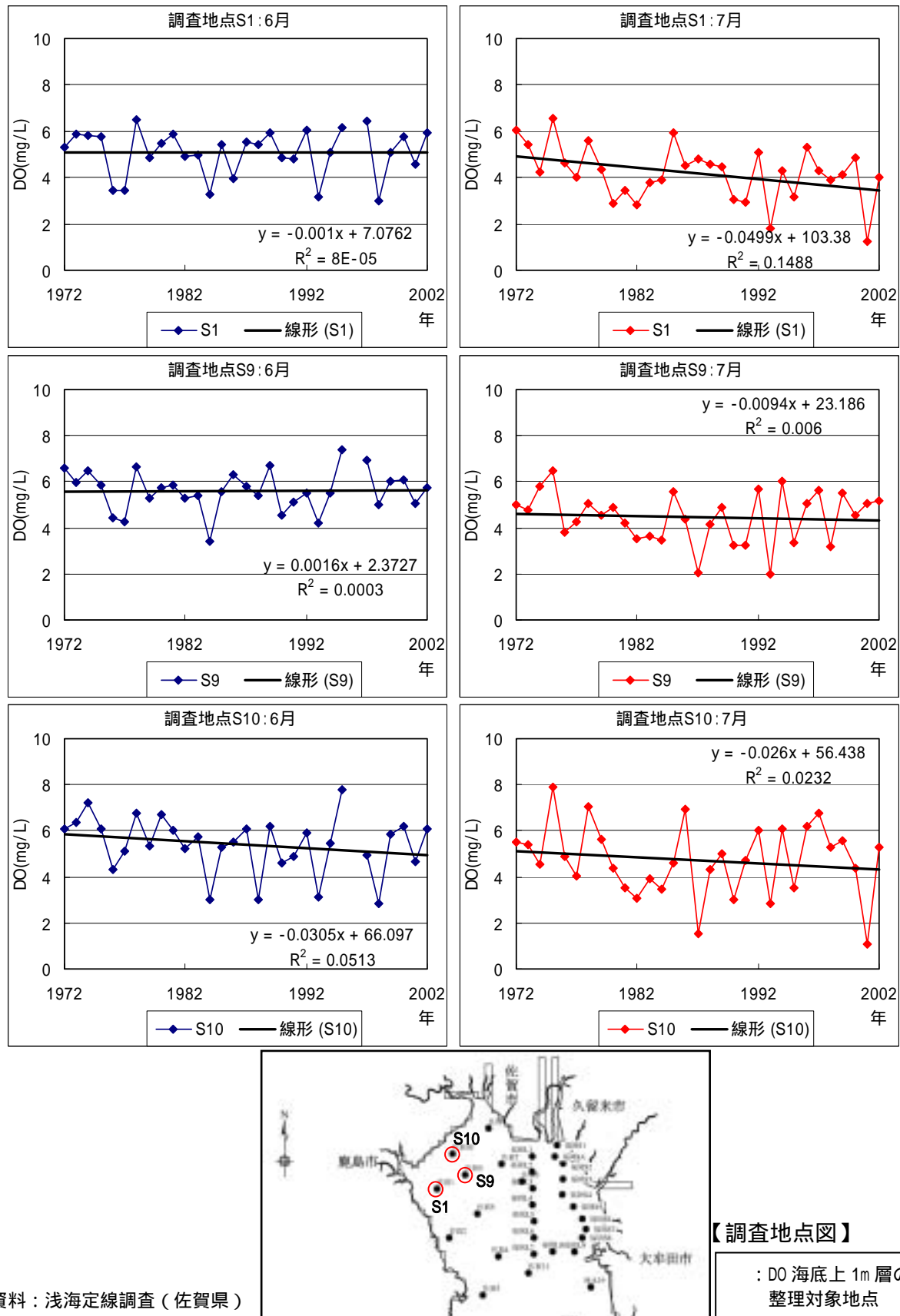
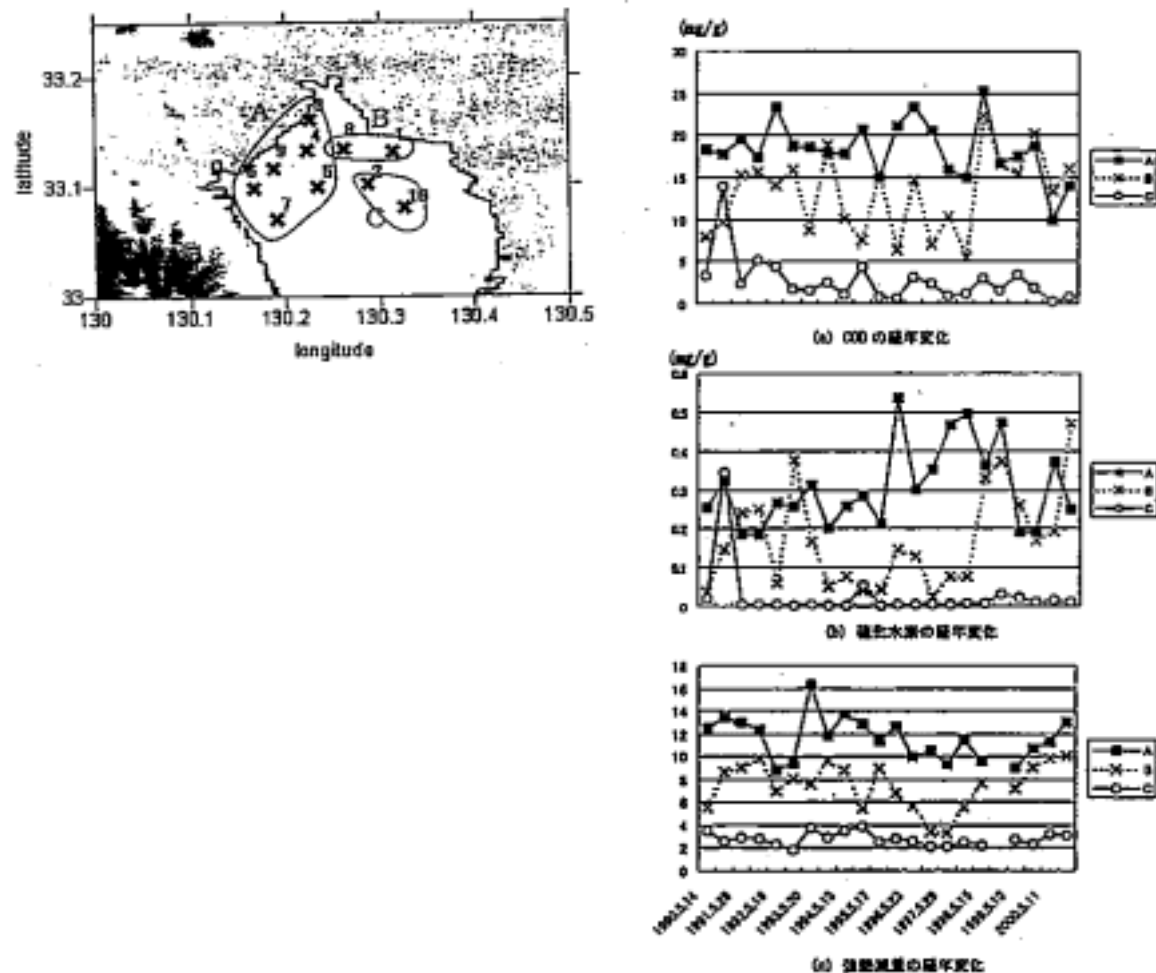


図 62 海底上 1m 層の DO 濃度の経年変化：調査地点 S1,S9,S10 (6月、7月)

別添資料60：有明海湾奥部の底質の経年変動



資料：滝川清, 田中建路, 外村隆臣, 西岡律恵, 青山千春 (2003) : 有明海の過去 25 年間における海域環境の変動特性, 海岸工学論文集, 第 50 巻, pp1001-1005

図 63 有明海湾奥底質の経年変動特性

別添資料61：ノリ酸処理剤の底質への移行

- ・ノリ酸処理剤の希釈は、通常（2～5m 水深の漁場）では 20 万～90 万倍である。底質への移行については、5 万倍希釈(20ppm)で 6 時間接触させた場合は検出不可、2 万倍希釈(50ppm)より高い濃度の場合は微量のクエン酸が検出された¹⁾。
- ・有機酸のモニタリング調査としてはクエン酸、リンゴ酸およびグルコン酸濃度を測定した事例がある。総数 256 検体の測定結果はすべて検出限界値 (0.01ppm > または 0.1ppm) を下回った²⁾。
- ・農林水産省水産庁（1995 年）「のり酸処理試験研究成果の概要」のまとめ
『海域に負荷される酸処理剤の成分としては、水素イオン及び有機酸、さらに栄養効果と pH を下げるための補助剤として添加されているリン酸等があげられる。海域の pH をモニタリングしているが、pH7.4 以下は酸処理剤使用前も使用後も検出されていない。クエン酸やリンゴ酸等の有機酸のモニタリング例をみても測定結果はすべて測定限界値以下であった。このように、酸処理剤の影響は海域のモニタリングでは検出されていないが、酸処理剤が海水で希釈された場合にはその有機成分は 2～10 日で分解されるという結果からも頷ける。』

資料：1.鬼頭釣（2003）「第 6 回有明海・八代海総合調査評価委員会 資料-2 有明海におけるノリ養殖について」

2.資料：農林水産省水産庁(1995)「のり酸処理試験研究成果の概要」

別添資料62：有明海の植物プランクトンの増殖速度

表 18 有明海における 1984～1989 年と 1997～2003 年の植物プランクトンの増殖速度

| 水域 | 対象期間 | 月 | 表層平均水温 (T:) | 表層平均塩分 (S: -) | <i>Skeletonema costatum</i> | | <i>Chattonella antiqua</i> | | <i>Gymnodinium mikimotoi</i> | |
|-----|---------|--------|-----------------|------------------|------------------------------|------|------------------------------|------|------------------------------|------|
| | | | | | 増殖速度 (day ⁻¹) | 比率 | 増殖速度 (day ⁻¹) | 比率 | 増殖速度 (day ⁻¹) | 比率 |
| 福岡県 | '84-'89 | 4-6月 | 18.4 | 28.58 | 0.687 | - | 0.517 | - | 0.536 | - |
| | | 7-9月 | 26.0 | 26.39 | 0.505 | - | 1.085 | - | 0.783 | - |
| | | 10-12月 | 17.1 | 29.82 | 0.693 | - | 0.432 | - | 0.442 | - |
| | | 1-3月 | 9.8 | 29.88 | 0.473 | - | 1.161 | - | 0.106 | - |
| | '97-'03 | 4-6月 | 19.1 | 28.90 | 0.678 | 0.99 | 0.585 | 1.13 | 0.578 | 1.08 |
| | | 7-9月 | 27.1 | 27.22 | 0.472 | 0.93 | 1.082 | 1.00 | 0.743 | 0.95 |
| | | 10-12月 | 18.1 | 29.51 | 0.688 | 0.99 | 0.503 | 1.16 | 0.511 | 1.16 |
| | | 1-3月 | 11.0 | 30.20 | 0.543 | 1.15 | 0.819 | 0.71 | 0.126 | 1.19 |
| 佐賀県 | '84-'89 | 4-6月 | 18.3 | 28.85 | 0.687 | - | 0.513 | - | 0.530 | - |
| | | 7-9月 | 26.3 | 25.93 | 0.498 | - | 1.076 | - | 0.779 | - |
| | | 10-12月 | 17.1 | 30.30 | 0.693 | - | 0.430 | - | 0.433 | - |
| | | 1-3月 | 9.9 | 30.76 | 0.476 | - | 1.135 | - | 0.099 | - |
| | '97-'03 | 4-6月 | 19.0 | 28.61 | 0.680 | 0.99 | 0.568 | 1.11 | 0.571 | 1.08 |
| | | 7-9月 | 26.9 | 26.27 | 0.479 | 0.96 | 1.072 | 1.00 | 0.758 | 0.97 |
| | | 10-12月 | 18.1 | 29.79 | 0.689 | 0.99 | 0.496 | 1.15 | 0.502 | 1.16 |
| | | 1-3月 | 10.7 | 30.37 | 0.527 | 1.11 | 0.891 | 0.78 | 0.117 | 1.18 |
| 長崎県 | '84-'89 | 4-6月 | 18.2 | 34.18 | 0.688 | - | 0.488 | - | 0.412 | - |
| | | 7-9月 | 25.2 | 33.37 | 0.531 | - | 1.117 | - | 0.650 | - |
| | | 10-12月 | 19.4 | 33.99 | 0.674 | - | 0.605 | - | 0.484 | - |
| | | 1-3月 | 12.3 | 34.43 | 0.602 | - | 0.534 | - | 0.101 | - |
| | '97-'03 | 4-6月 | 18.8 | 34.09 | 0.682 | 0.99 | 0.540 | 1.11 | 0.446 | 1.08 |
| | | 7-9月 | 26.0 | 33.30 | 0.507 | 0.96 | 1.136 | 1.02 | 0.638 | 0.98 |
| | | 10-12月 | 20.2 | 33.87 | 0.661 | 0.98 | 0.685 | 1.13 | 0.525 | 1.09 |
| | | 1-3月 | 12.8 | 34.18 | 0.622 | 1.03 | 0.470 | 0.88 | 0.126 | 1.25 |
| 熊本県 | '84-'89 | 4-6月 | 18.4 | 31.46 | 0.686 | - | 0.526 | - | 0.495 | - |
| | | 7-9月 | 25.6 | 29.01 | 0.517 | - | 1.118 | - | 0.765 | - |
| | | 10-12月 | 19.1 | 32.13 | 0.679 | - | 0.581 | - | 0.516 | - |
| | | 1-3月 | 12.1 | 32.53 | 0.592 | - | 0.598 | - | 0.128 | - |
| | '97-'03 | 4-6月 | 19.0 | 31.11 | 0.680 | 0.99 | 0.574 | 1.09 | 0.533 | 1.08 |
| | | 7-9月 | 26.4 | 30.09 | 0.494 | 0.95 | 1.132 | 1.01 | 0.725 | 0.95 |
| | | 10-12月 | 19.9 | 31.75 | 0.667 | 0.98 | 0.662 | 1.14 | 0.569 | 1.10 |
| | | 1-3月 | 12.4 | 31.80 | 0.604 | 1.02 | 0.562 | 0.94 | 0.150 | 1.18 |

注) 1. 表層平均水温、平均透明度は各県の浅海定線調査を用いて算出した。

2. *Skeletonema costatum* の成長速度は以下の式に基づき算出した。

$$\mu = \mu_{\max} \cdot f(T) \cdot f(I) \cdot f(N, P)$$

μ : 増殖速度(day⁻¹) μ_{\max} : 最大増殖速度(day⁻¹) $f(T)$: 水温依存項 $f(I)$: 照度依存項

$f(N, P)$: 栄養塩依存項

なお、上表では $f(I)$ と $f(N, P)$ を 1 として、 $f(T)$ を以下の式より算出した。

$$f(T) = (T/T_{opt} \cdot \exp(1-T/T_{opt}))^3$$

3. *Chattonella antiqua* と *Gymnodinium mikimotoi* は以下の式に基づき算出した。

[*Chattonella antiqua*]

$$\mu = 9.34751 - 1.49979 \cdot T + 0.07380 \cdot T^2 - 0.00117 \cdot T^3 - 0.00001 \cdot S^3 + 0.00389 \cdot T \cdot S - 0.00003 \cdot T \cdot S^2 - 0.00003 \cdot T^2 \cdot S$$

[*Gymnodinium mikimotoi*]

$$\mu = 1.05753 - 0.30220 \cdot T + 0.01777 \cdot T^2 - 0.00035 \cdot T^3 + 0.00515 \cdot T \cdot S - 0.00010 \cdot T \cdot S^2$$

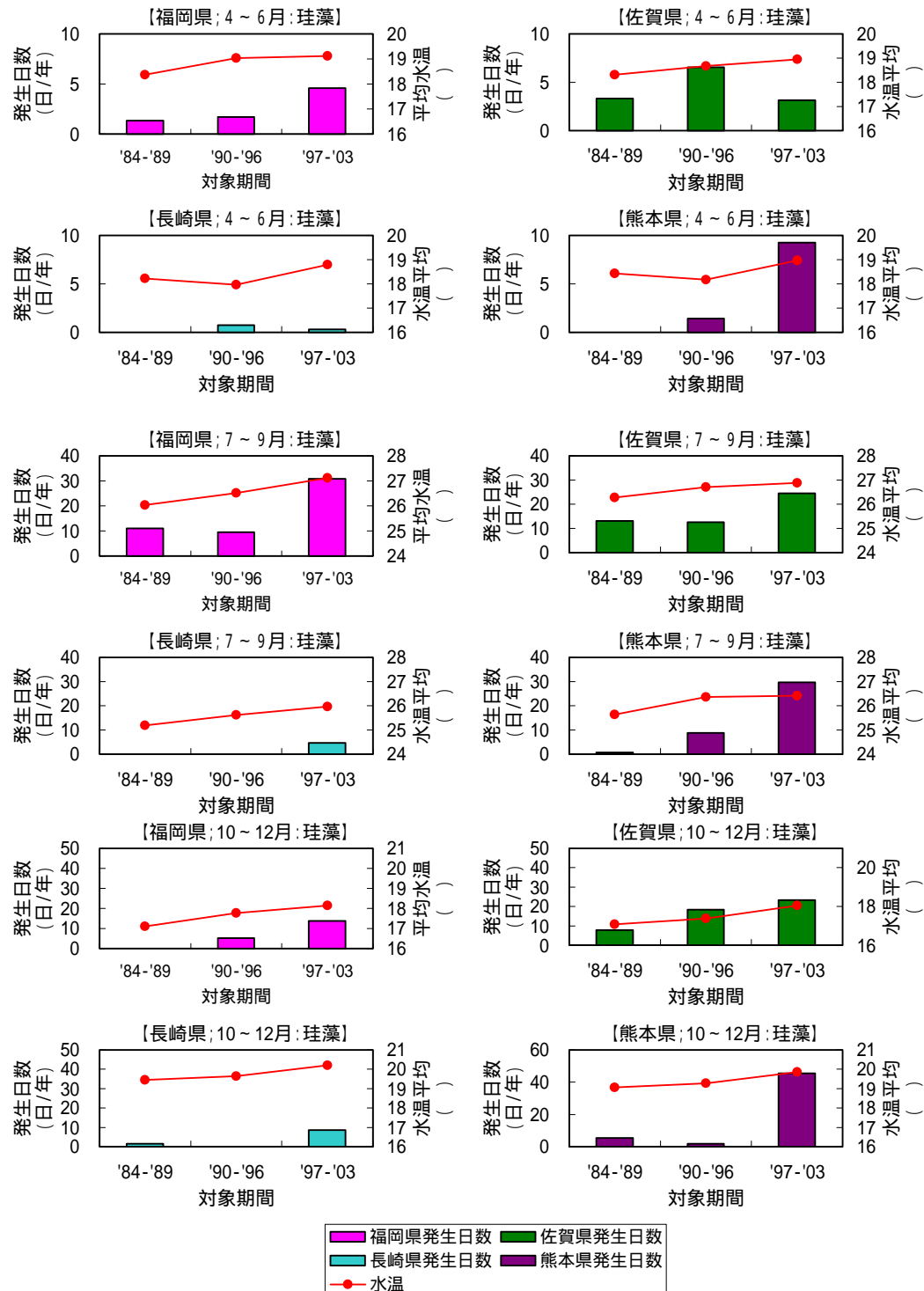
4. 比率 = ('97-'03 の最大成長速度[増加率]) / ('84-'89 の最大成長率[増加率]) である。

資料：1. 中嶋雅孝, 横山佳裕, 内田唯史, 中野拓治, 中西弘(2005)：有明海における冬季のノリ及び赤潮プランクトンの増殖特性, 水環境学会誌, Vol.28, No.5, pp.339-345

2. 山口峰生, 今井一郎, 本城凡夫(1991)：有害赤潮ラフィド藻 *Chattonella antiqua* と *C. marina* の増殖速度に及ぼす水温、塩分及び光強度の影響, 日本国水産学会誌, Vol.57, No.7, pp.1277-1284

3. 山口峰生, 本城凡夫(1989)：有害赤潮鞭毛藻 *Gymnodinium nagasakiense* の増殖に及ぼす水温、塩分及び光強度の影響, 日本国水産学会誌, Vol.55, No.11, pp.2029-2036

別添資料63：有明海における珪藻赤潮の発生日数



資料：1. 水産庁 九州漁業調整事務所「九州海域の赤潮」

2. 浅海定線調査（福岡県、佐賀県、熊本県）

図 64 有明海の春季、秋季及び冬季の平均水温と珪藻赤潮の発生日数

別添資料64：有明海の平均透明度の状況

表 19 有明海における 1984～1989 年と 1997～2003 年の平均透明度の状況

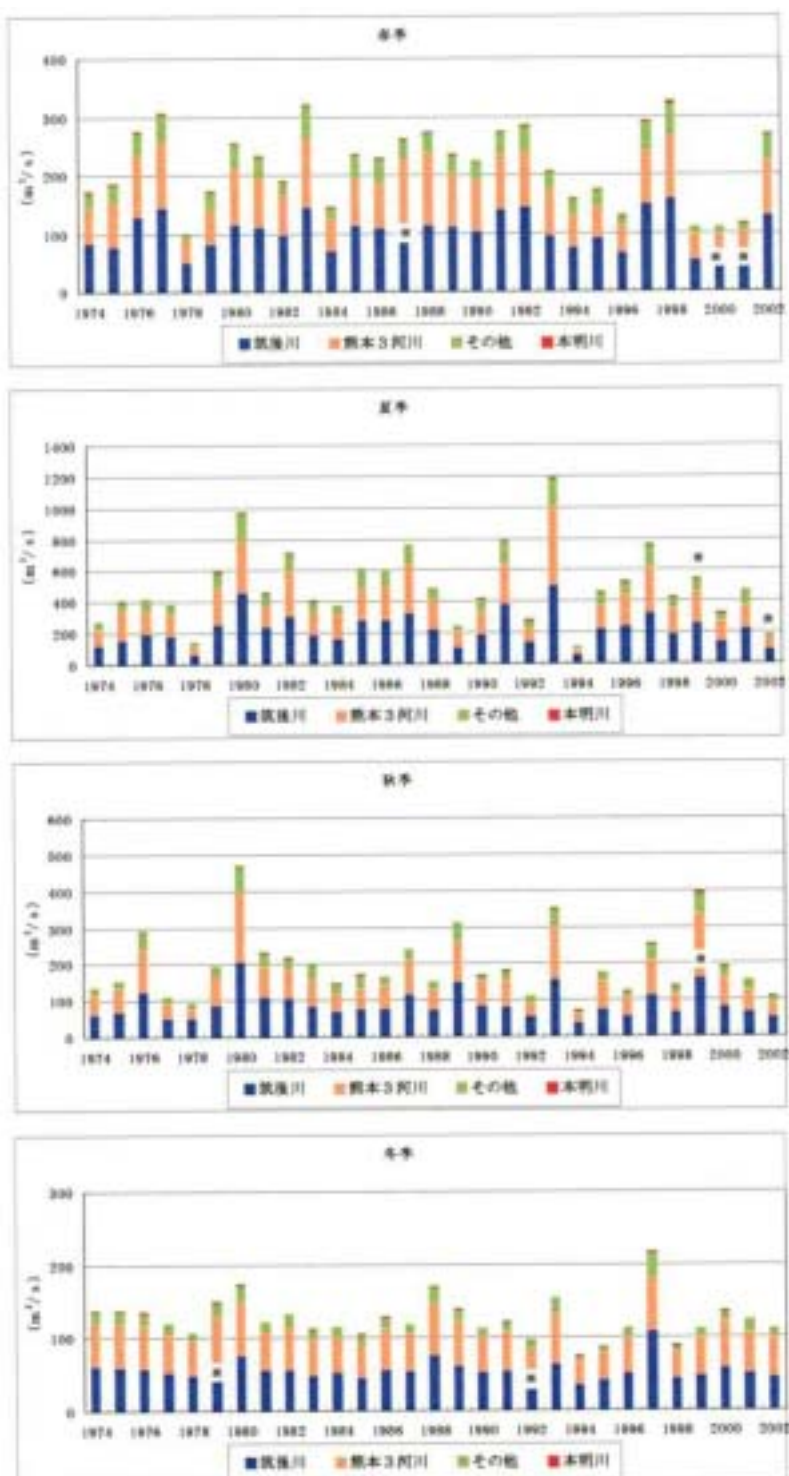
| 水域 | 対象期間 | 月 | 平均透明度 (m) | 比率 |
|-----|---------|--------|--------------|------|
| 福岡県 | '84-'89 | 4-6月 | 1.52 | - |
| | | 7-9月 | 1.49 | - |
| | | 10-12月 | 1.50 | - |
| | | 1-3月 | 1.56 | - |
| | '97-'03 | 4-6月 | 1.44 | 0.95 |
| | | 7-9月 | 1.50 | 1.00 |
| | | 10-12月 | 1.52 | 1.01 |
| | | 1-3月 | 1.78 | 1.14 |
| 佐賀県 | '84-'89 | 4-6月 | 1.87 | - |
| | | 7-9月 | 1.87 | - |
| | | 10-12月 | 1.70 | - |
| | | 1-3月 | 1.78 | - |
| | '97-'03 | 4-6月 | 1.95 | 1.04 |
| | | 7-9月 | 1.83 | 0.98 |
| | | 10-12月 | 1.91 | 1.12 |
| | | 1-3月 | 2.19 | 1.23 |
| 長崎県 | '84-'89 | 4-6月 | 5.71 | - |
| | | 7-9月 | 4.65 | - |
| | | 10-12月 | 5.37 | - |
| | | 1-3月 | 6.44 | - |
| | '97-'03 | 4-6月 | 6.55 | 1.15 |
| | | 7-9月 | 5.94 | 1.28 |
| | | 10-12月 | 5.88 | 1.09 |
| | | 1-3月 | 7.85 | 1.22 |
| 熊本県 | '84-'89 | 4-6月 | 4.28 | - |
| | | 7-9月 | 3.59 | - |
| | | 10-12月 | 4.15 | - |
| | | 1-3月 | 4.87 | - |
| | '97-'03 | 4-6月 | 5.13 | 1.20 |
| | | 7-9月 | 4.69 | 1.31 |
| | | 10-12月 | 4.64 | 1.12 |
| | | 1-3月 | 6.36 | 1.31 |

注) 1. 表層平均水温、平均透明度は各県の浅海定線調査を用いて算出した。

2. 比率 = ('97-'03 の平均透明度) / ('84-'89 の平均透明度) である。

資料：浅海定線調査（福岡県、佐賀県、熊本県）

別添資料65：主要河川の平均流量の経年変化

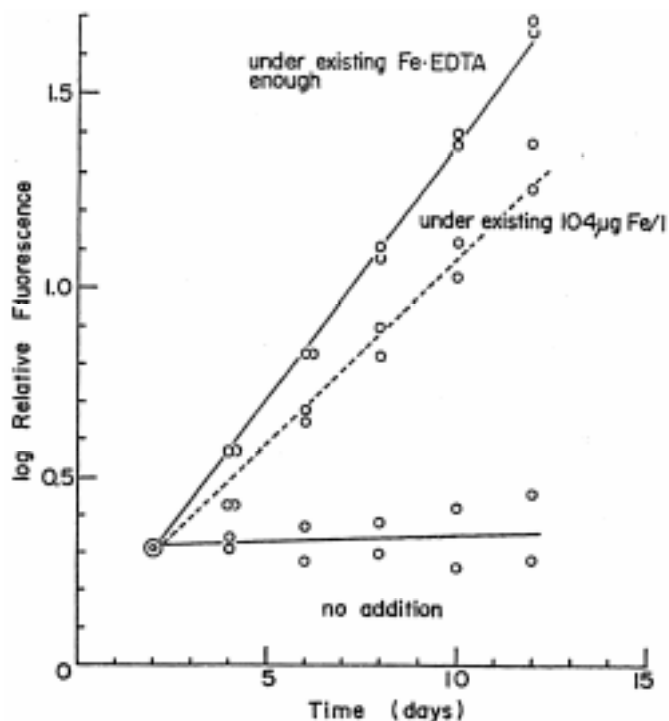


注) 対象期間中に欠測がある場合は、該年に「」を付した。

資料:「有明海における干拓事業漁業被害原因裁定申請事件 専門委員報告書」(平成16年12月)

図 65 主要 8 河川における季節別平均流量の経年変化

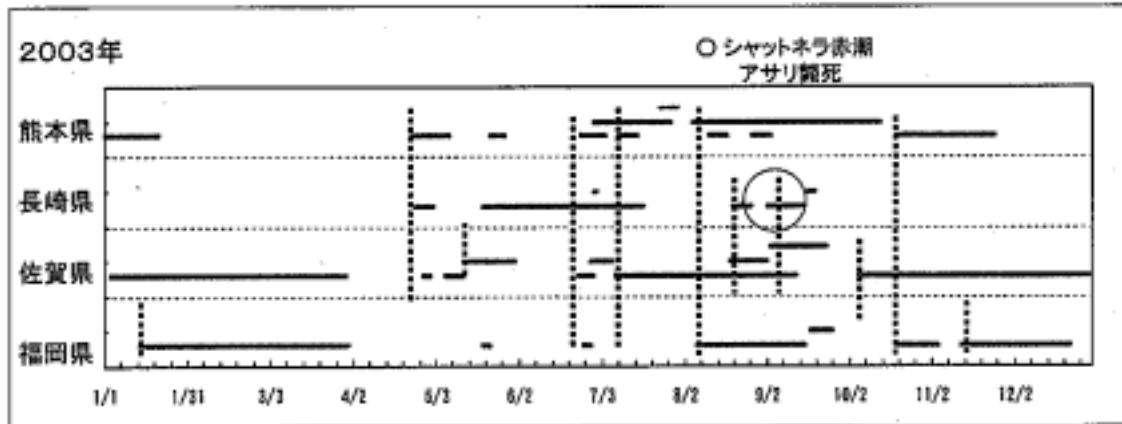
別添資料66：*Chattonella* 属と鉄との関係



資料：本城凡夫(2004)「第 12 回有明海・八代海総合調査評価委員会 資料-4 有明海・八代海における赤潮の発生について」

図 66 基本培地へ $\text{FeCl}_3 \cdot 6\text{H}_2\text{O}$ の形で $104 \mu\text{g Fe/l}$ 添加したときの *Chattonella* sp. (三河湾産ホルネリア) の増殖

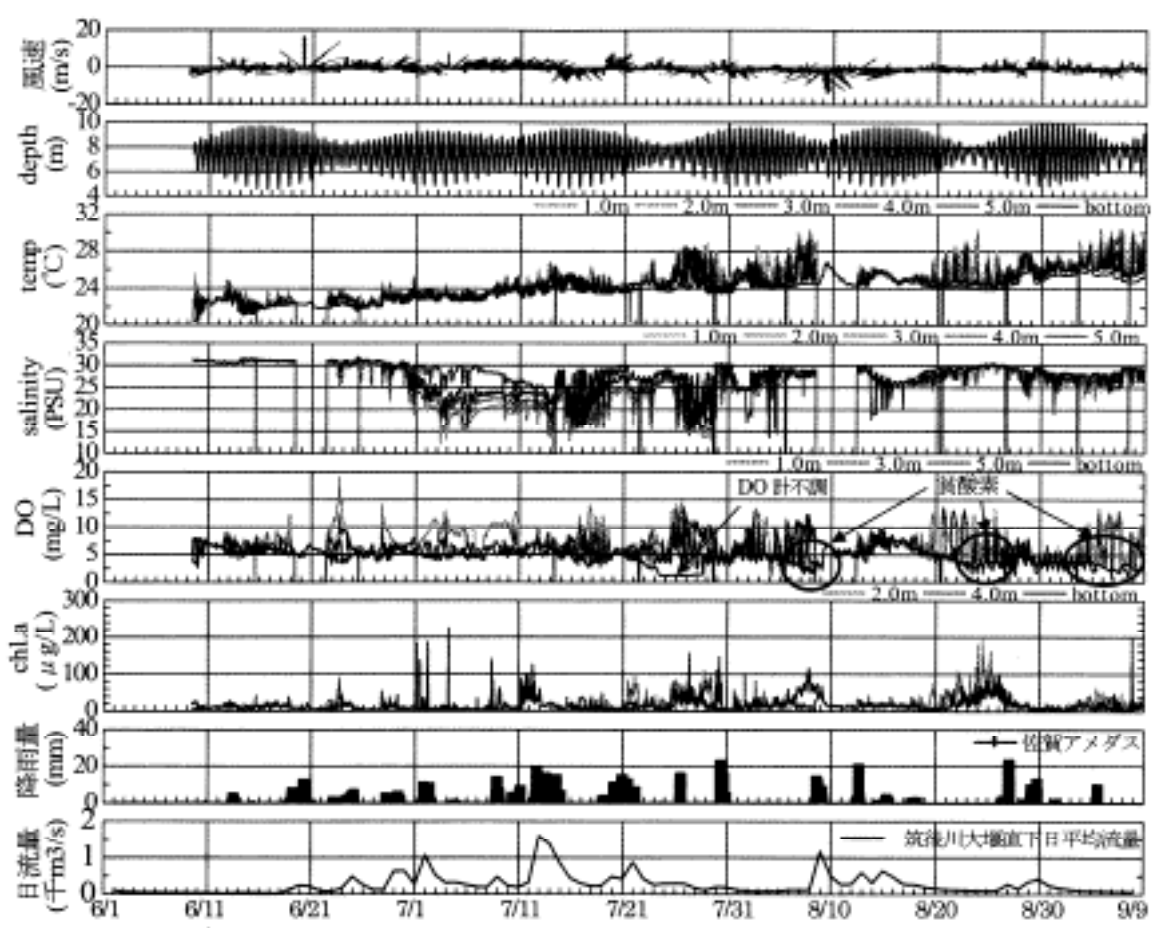
別添資料67：潮汐と *Chattonella* 赤潮等との関係



注) 図の印は長崎県小長井地先でシャットネラ赤潮が発生し、アサリが斃死していた時期を示す。破線は小潮時を示し、この時期に赤潮の発生が多く見られる。

資料：渡辺康憲、前野幸男、藤吉栄次、垣本達也（2004）：有明海の赤潮発生状況の把握、平成15年度閉鎖性海域赤潮被害防止対策事業報告書（有明海），pp.5-9

図 67 平成15年の有明海の赤潮発生状況



資料：中山哲嚴、佐伯信哉、木元克則（2004）：諫早湾での夏季における流動、成層安定性と底層の溶存酸素の関係、海岸工学論文集、第50巻、第1号、pp.906-910

図 68 2003年夏季における水質・気象の時系列図